rP1CSD225 - Resolução - ENE0077 CONTROLE DE SISTEMAS DINÂMICOS - 2025.2

Nome: _____ Matrícula: _____

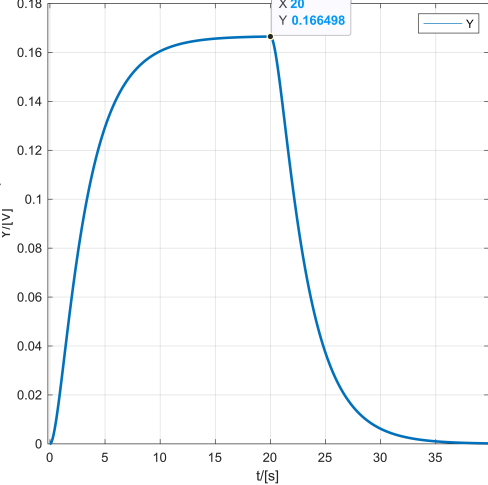
A resolução das questões, **organizada de forma clara e objetiva**, nas páginas anexas, **é considerada na correção**. *Não separar*, por favor, *as folhas* desta prova

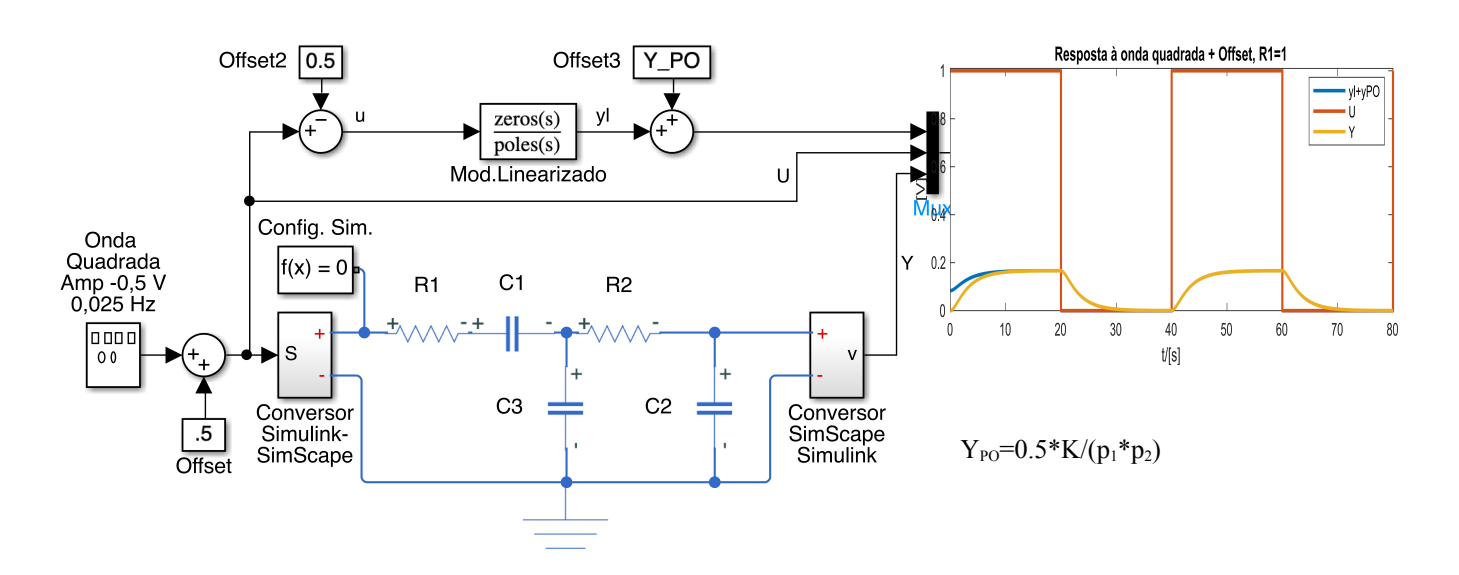
Prova tipo	1	2	3	4	5	6	7	8	9
R1, Ω	1	2	3	4	5	6	7	8	9

Questão 1 (3,0) Considere um circuito, em grandes sinais (offset de 0,5 V na entrada).

a) (0,5) Como considerar o Offset para que o circuito seja linear (atenda à sobreposição)?

R.: Para a onda quadrada, não deve haver Offset. Neste circuito acrescentar uma tensão de -0,5 V. R1=1 Sinais com média 0. Com u = 0 => y = 0. u e y pequenos sinais => Função de Transferência.





b) (1,0) Calcule a Função de Transferência (2ª ordem), em pequenos sinais, $\frac{Y(s)}{U(s)} = \frac{\mathscr{L}y(t)}{\mathscr{L}u(t)}$.

$$\operatorname{Regra\ de\ Cramer:}\ I_{2}(s) = \frac{\begin{bmatrix} \left(R_{1} + \frac{1}{sC_{1}} + \frac{1}{sC_{3}}\right) & V_{i} \\ \frac{-1}{sC_{3}} & 0 \end{bmatrix}}{\begin{bmatrix} \left(R_{1} + \frac{1}{sC_{1}} + \frac{1}{sC_{3}}\right) & \frac{-1}{sC_{3}} \\ \frac{-1}{sC_{3}} & \left(R_{2} + \frac{1}{sC_{2}} + \frac{1}{sC_{3}}\right) \end{bmatrix}} I_{2}(s) = \frac{\frac{V_{i}}{sC_{3}}}{\begin{bmatrix} R_{1} + \frac{1}{sC_{1}} + \frac{1}{sC_{2}} + \frac{1}{sC_{3}} \\ \frac{-1}{sC_{3}} & \left(R_{2} + \frac{1}{sC_{2}} + \frac{1}{sC_{3}}\right) \end{bmatrix}} I_{2}(s) = \frac{\frac{V_{i}}{sC_{1}}}{\begin{bmatrix} R_{1} + \frac{1}{sC_{1}} + \frac{1}{sC_{2}} + \frac{1}{sC_{2}} + \frac{1}{sC_{3}} \\ \frac{V_{i}}{s^{2}C_{2}C_{3}} \end{bmatrix}} I_{2}(s) = \frac{\frac{V_{i}}{sC_{3}} + \frac{1}{sC_{3}} + \frac{1}{s^{2}C_{3}^{2}} + \frac{1}{s^{2}C_{3}^{$$

c) (0,5) Assumindo agora, de forma "didática", $R2=2\Omega$; C1=1F, C2=2F, C3=3F.

Calcule polos, zero e ganho, $\frac{Y(s)}{U(s)} = \frac{K(s+z)}{(s+p_1)(s+p_2)}.$

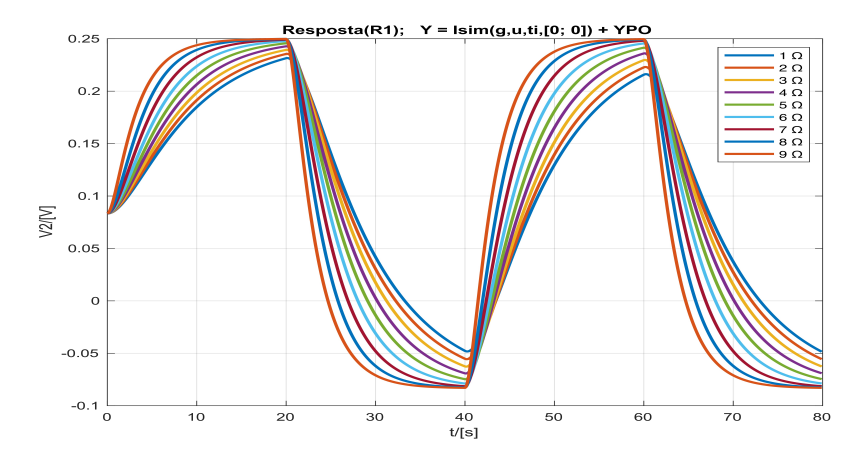
$$\mathbf{R} : \frac{Y(s)}{U(s)} = \frac{1}{s^2 \cdot 12 \cdot R_1 + s \cdot 3 \cdot R_1 + s \cdot 2 \cdot R_1 + s \cdot 12 + 3 + 2 + 4 \cdot s + 1} = \frac{1}{12 \cdot R_1 s^2 + (5 \cdot R_1 + 16) s + 6} = \frac{1/(12 \cdot R_1)}{s^2 + (5/12 + 4/(3 \cdot R_1)) s + 1/(2 \cdot R_1)}$$

d) (1,0) Via expansão em frações parciais, calcule a resposta Y(t) ao sinal U(t), em grandes sinais.

$$U(s) = \frac{1}{s}; Y(t) = K_0 + 0.5 + K_1 e^{-p_1 t} + K_2 e^{-p_2 t} \qquad K_0 = ; K_1 = ; K_2 = \mathcal{E}$$

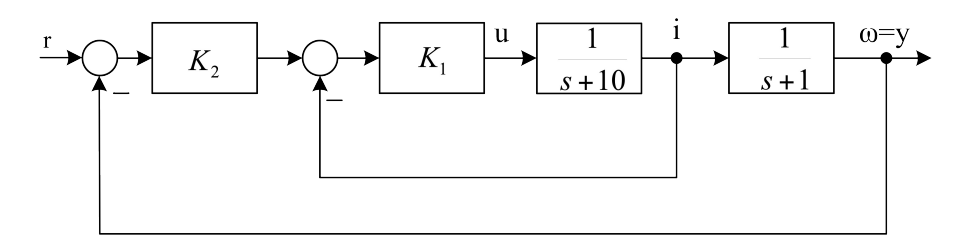
$$K_0 = \frac{K}{s(s+p_1)(s+p_2)} \bigg|_{s=0} = \frac{K}{p_1 p_2};$$

$$K_1 = \frac{K}{s(s+p_1)(s+p_2)} \bigg|_{s=-p_1} = \frac{K}{-p_1(-p_1 + p_2)}; \quad K_2 = \frac{K}{s(s+p_1)(s+p_2)} \bigg|_{s=-p_2} = \frac{K}{-p_2(-p_2 + p_1)};$$



Questão 2 (2,0) O arranjo em cascata é muito utilizado para o controle de velocidade de motores. Uma malha interna, mais rápida, controla a corrente de armadura, enquanto uma malha externa controla a velocidade do motor.

- a) (1,0) Obtenha a função de transferência de malha fechada $\frac{Y(s)}{R(s)}$.
- b) (1,0) Calcule os valores de K_1 e K_2 para que o sobresinal percentual seja de $M_p=16\%$ e o tempo de acomodação de **1%** seja $t_s=0,1$ seg.



Obs 3:
$$e^{-4.6} = 0,01 \rightarrow t_{s,1\%} = \frac{4.6}{\sigma}$$

a) Resolvendo a malha interna, caminho direto sobre 1 + ganho de malha: $\frac{I(s)}{U_2(s)} = \frac{\frac{K_1}{s+10}}{1+\frac{K_1}{s+10}} = \frac{K_1}{s+10+K_1},$

temos agora uma única malha:

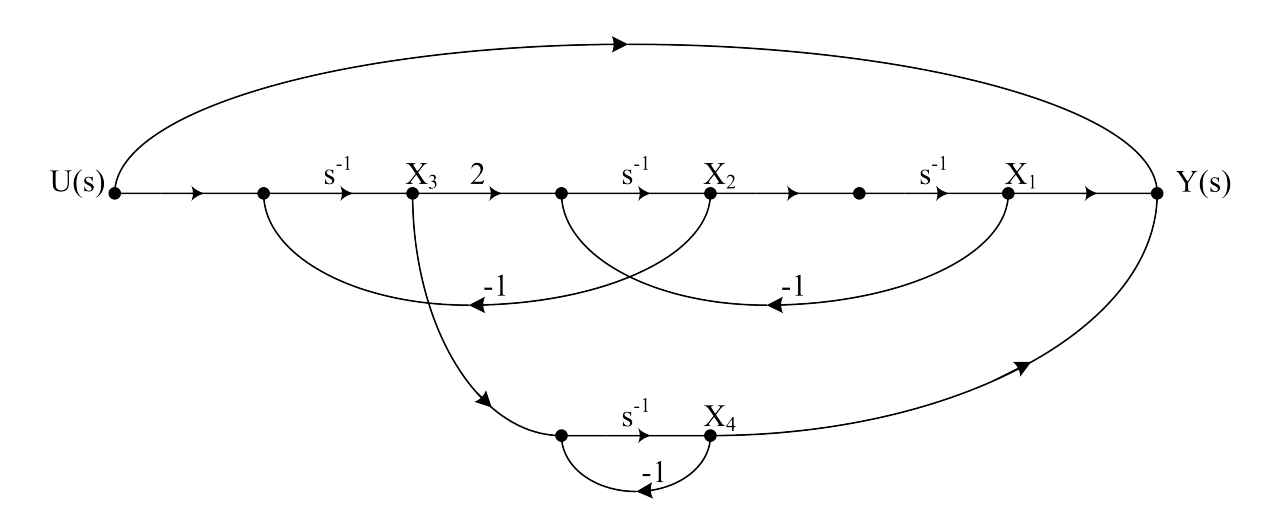
$$\frac{\frac{Y(s)}{R(s)}}{=} = \frac{\frac{K_1 K_2}{s+10+K_1} \frac{1}{s+1}}{1+\frac{K_1 K_2}{s+10+K_1} \frac{1}{s+1}} = \frac{K_1 K_2}{\left(s+10+K_1\right)\left(s+1\right)+K_2 K_1} = \frac{K_1 K_2}{s^2+\left(11+K_1\right)s+10+K_1+K_1 K_2}$$

b)
$$M_p = 16\% \to \zeta = 0.5 t_a (1\%) = \frac{4.6}{\sigma} \to \sigma = 46 \omega_n = \frac{\sigma}{\zeta} = 92 \text{ rad/s}$$

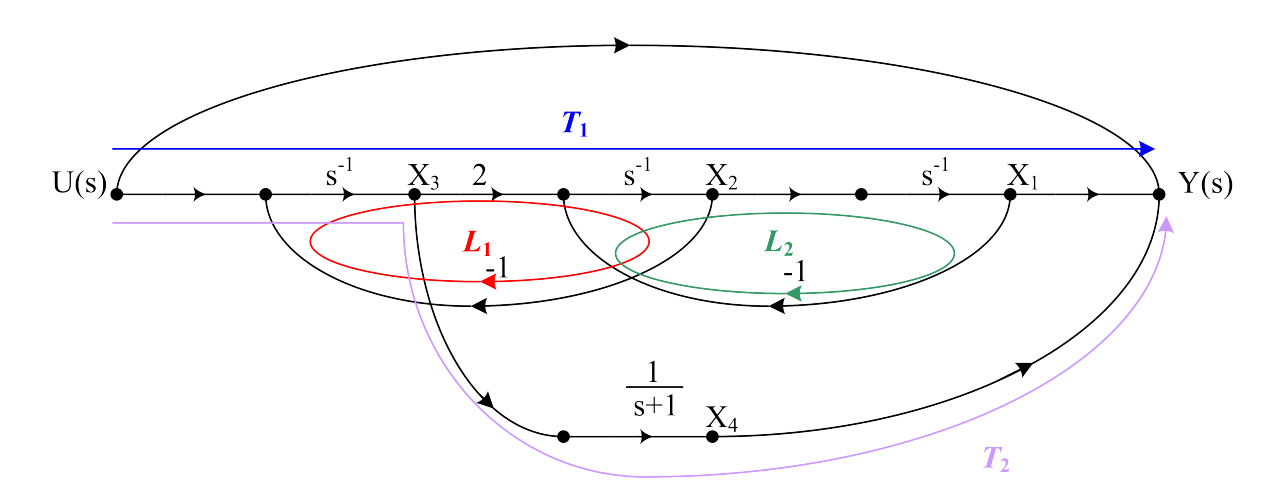
$$\begin{cases} \omega_n^2 = 10 + K_1 + K_1 K_2 & K_1 = 81 \\ 2\zeta \omega_n = 11 + K_1 & K_2 = 103,37 \end{cases}$$

Questão 3 (2,0) Considere o seguinte fluxografo.

Obtenha a função de transferência $\frac{Y(s)}{U(s)}$ do seguinte fluxografo. Ramos sem indicação tem ganho unitário.



O laço em X_4 pode facilmente ser incorporado ao caminho direto $T_2 = s^{-1} \frac{s^{-1}}{1+s^{-1}} = \frac{s^{-2}}{1+s^{-1}}$.



$$\begin{aligned} &\operatorname{Mason:} \frac{Y(s)}{U(s)} = \frac{\sum T_k \Delta_k}{\Delta} + 1 \\ &L_1 = -2s^{-2}; L_2 = -s^{-2}; T_1 = 2s^{-3}; \\ &\Delta = 1 - L_1 - L_2 = 1 + 3s^{-2} \\ &\Delta_1 = 1; \Delta_2 = 1 - L_2 = 1 + s^{-2}; \\ &\operatorname{a)} \frac{Y(s)}{U(s)} = \frac{s^2 + 2s + 3}{s^4 + s^3 + 3s^2 + 3s} + 1 = \frac{s^4 + s^3 + 4s^2 + 5s + 3}{s^4 + s^3 + 3s^2 + 3s} \\ &\frac{Y(s)}{U(s)} = \frac{s^2 + 2s + 3}{s^4 + s^3 + 3s^2 + 3s} + 1 = \frac{s^{-2} + 2s^{-3} + 3s^{-4}}{1 + s^{-1} + 3s^{-2} + 3s^{-3}} + 1 = \frac{T_1 + T_2 + T_3}{1 - L_1 - L_2 - L_3} + 1 \end{aligned}$$

Questão 4 (4,0) Redes Neurais Artificiais (RNA) estão na base da Inteligência Artificial conexionista. A Fig. 4.1 ilustra um Perceptron Multi-Camadas (MLP) didático, com uma única entrada, P, e uma saída y. MLP's permitem "aprender" funções, y(P), não-lineares, a partir de amostras do processo.

"Aprender" significa aqui, ajustar os pesos (Wj(k,l)ebj(l)), buscando minimizar a soma do erro quadrático $e^2 = \sum_{i=1}^{n} (d_i - y(P_i))^2$. Onde, (P_i, d_i) , é o conjunto de n amostras de treinamento, (padrão de entrada; saída desejada correspondente) e $y(P_i)$ é a saída da RNA para P_i com os pesos atuais. O algoritmo do gradiente descendente ("descer o morro" na direção mais ingreme) é utilizado para o treinamento.

Esta RNA possui 3 camadas: uma camada de entrada, uma camada escondida e uma camada de saída. Temos apenas duas camadas com neurônios. Não há processamento na camada de entrada. Cada neurônio faz a soma ponderada das entradas seguida de uma, assim chamada, função de ativação não-linear (satura em 1 para $W^TP \rightarrow -\infty$).

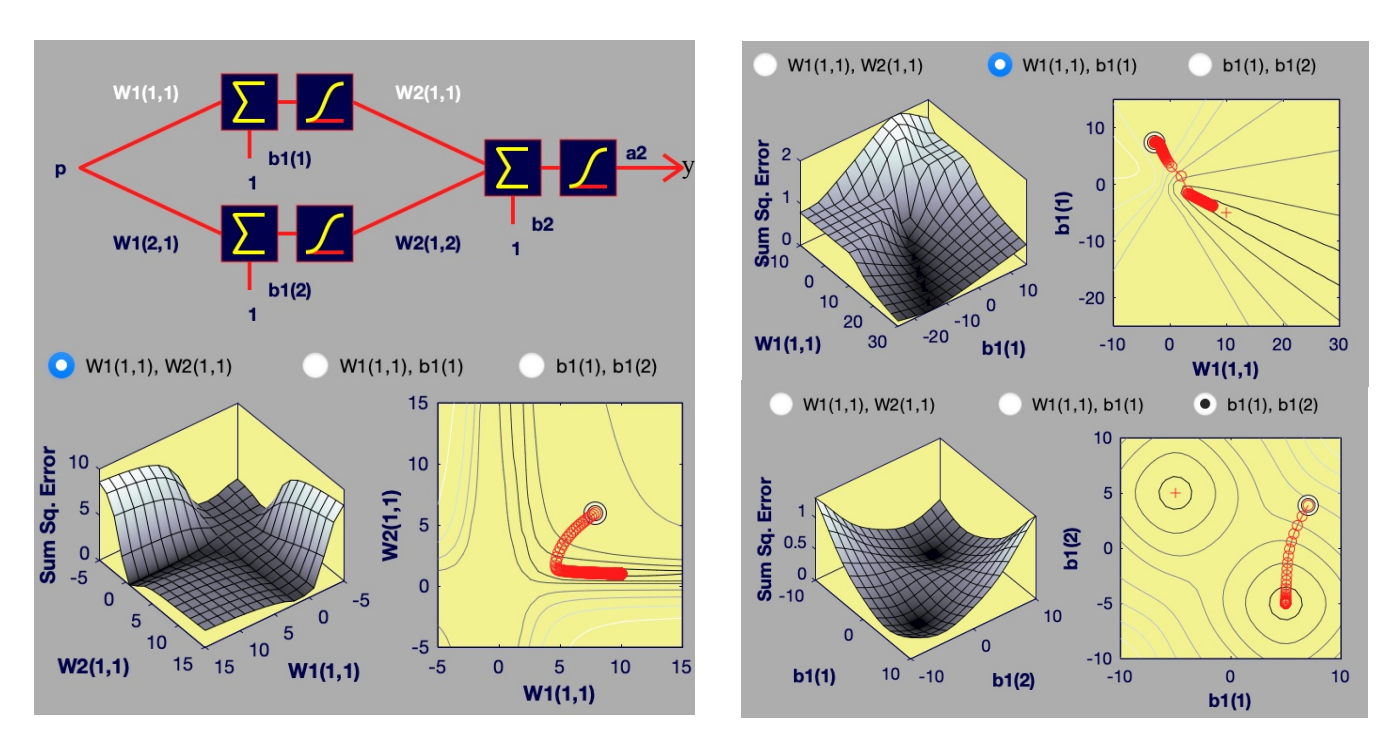


Fig. 4.1 – MLP didático com 2 neurônios na camada escondida. O hiper-espaço de parâmetros tem dimensão 7! Mostram-se 3 superfícies de erro em função de 2 parâmetros selecionados. As curvas de nível mostram a evolução do treinamento, a partir da condição inicial ©. Nestas figuras, o ótimo global é (+), em geral, não é encontrado.

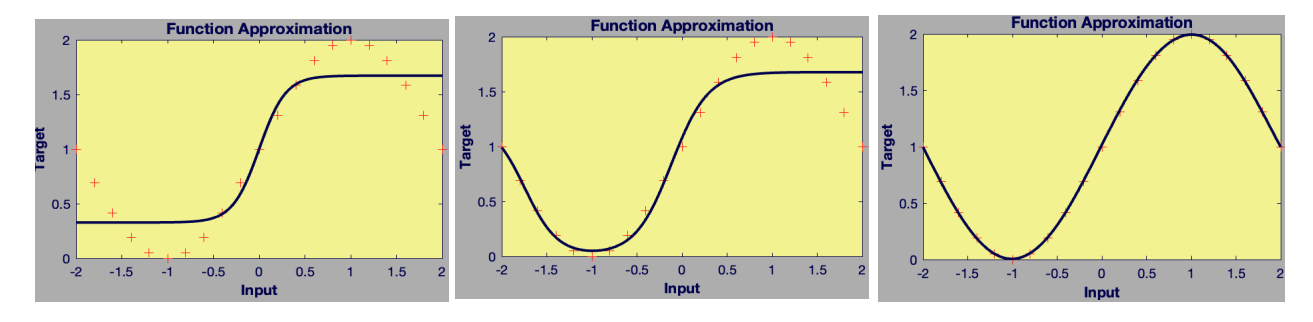


Fig. 4.2 – Aproximação de função a partir de algumas amostras, +. Neurônios na camada escondida: 1, 2 e 3;

Considerando o conteúdo de *Controle de Sistemas Dinâmicos*, escolha 8, e apenas 8 itens, para avaliar como V – Verdadeiro ou F, Falso. Justifique apenas "o que está errado", se considerar um item F. (Duas respostas incorretas anulam uma resposta correta)

- a) (0.5) Os pesos ajustáveis da RNA, W1(1,1), W1(2,1), W2(1,1), W2(1,2), b1(1), b1(2)eb2.
 - V cf. 2° parágrafo "Aprender" significa aqui, ajustar os pesos (Wj[k,l]ebj[l])
- b) (0,5) A superfície de erro quadrático de um modelo não-linear apresenta, tipicamente, vários mínimos locais. Em um problema do mundo "real" pode-se testar cada mínimo local, em buca do mínimo global.
 - F As curvas de nível das figuras 4.1 mostram mínimos locais. No 40 quadrante "o" ótimo global é (+). No hiper-espaço de parâmetros de dimensão 7 é virtualmente impossível testar (encontrar condições iniciais que estejam dentro de cada bacia de atração) é o assim chamado método da força bruta. "Bons mínimos locais" (sub-ótimas) são suficientes para a aplicação (modelagem) de RNAs em engenharia.
- c) (0,5) Na prática, mesmo para sitstemas com 63 entradas e 16 saídas, sempre encontraremos a solução ótima (o mínimo global) variando-se as condições iniciais.
 - F Ver item b. A assim chamada "praga da dimensionalidade" nos conforta com bons mínimos locais.
- d) (0,5) Problemas não-lineares apresentam vários pontos de equilíbrio na superfície de erro. Alguns pontos são estáveis, outros instáveis e temos ainda pontos de sela (estáveis numa direção, instáveis em outra).

V-

- e) (0,5) Qualquer ponto no hiper-espaço de pesos pode ser escolhido como Ponto de Operação para se obter um modelo linearizado. $P.O.=(\bar{W}1(1,1),\bar{W}1(2,1),\bar{W}2(1,1),\bar{W}2(1,2),\bar{b}1(1),\bar{b}1(2),\bar{b}2)$. As condições iniciais triviais, no entanto, $\bar{W}1(1,1)=\bar{W}1(2,1)=\bar{W}2(1,1)=\bar{W}2(1,2)=\bar{b}1(1)=\bar{b}1(2)=\bar{b}2=0$, são raramente utilizadas em aprendizado de máquina.
 - V (0,0,0,0,0,0,0) é "uma" bacia de atração para $W(k+1) = W(k) \mu \nabla_{P,O} \mu$ taxa de aprendizagem.
- f) (0,5) O procedimento de linearização deve, aqui, aproximar 3 funções não-lineares do tipo "sigmoide" (em formato de "S"), $f(x) = \frac{1}{1 + e^{-[W_i^T x + b_i]}}$, por séries de Tyalor truncadas. $\frac{1}{1 + e^{-[W_i^T x + b_i]}}$

P W1(1,1) W2(1,1) N2(1,2) N2(1

- g) (0,5) A Fig. 4.2 mostra que na "falta de neurônios", não é possível uma boa aproximação dos dados de treinamento. Por outro lado, quanto mais neurônios, melhor será a aproximação. Esta situação é análoga à regressão linear. Um polinômio de ordem 10 sempre será melhor que um polinômio de ordem 2.
 - F se o processo que gerou os dados é polinomial de de 2a ordem, medidas com ruído aditivo, o melhor resultado da regressão linear será com um polinômio de 2a ordem. O polinômio de ordem 10, aproxima o ruído ("overfitting").
- h) (0,5) Um sistema dinâmico linear tem um único mínimo da superfície de energia, o "0". Nesta condição, todos os capacitores estarão descarregados, não haverá corrente em bobinas. Todos os graus de liberdade de um sistema rotacional terão $\theta_i(t) = \dot{\theta}_i(t) = 0$. A ordem do sistema será igual aos graus de liberdade.

F-Número de armazenadores independentes de energia \rightarrow Ordem. Graus de liberdade (malhas elétricas, deslocamentos/rotações independentes) \rightarrow # de equações

i) (0,5) O "bias" (polarização) permite que a função sigmóide tenha saída não nula quando a soma poderada de entrada mais bias é zero. Assim, podemos dizer, que o modelo da RNA linarizada deverá ter \$\bar{b} 1 | 1 | = \bar{b} 1 | 2 | = \bar{b} 2 = 0\$.

$$F - f(x) = \frac{1}{1 + e^{-[W_i^T x + b_i]}} \quad \text{Com } W_i^T x + b = 0, \text{ os dois neurônios da camada de entrada tem saída}$$

$$f(0) = \frac{1}{1 + e^0} = 0,5$$

O neurônio 2 tem entrada linear ponderada, $W_2(1,1)*0.5 + W_2(1,2)*0.5 + b2 = 0 \rightarrow f(0) = y(P) = y(0) = 0.5$. Para um modelo linearizado, em torno da origem, $\bar{b}1|1|=\bar{b}1|2|=\bar{b}2=0.5$.

j) (0,5) Um pêndulo com massa da haste M e coeficiente de atrito D, tem dois pontos de equilíbrio, um instável e outro estável. Não importa a condição inicial escolhida, o pêndulo, sem sinal forçante, sempre terminará na posição estável. Mesmo que haja atrito "seco", aquele atrito que precisa ser vencido, para que o sistema entre em regime de atrito viscoso.

F – Quando o atrito for menor que o torque em função de θ , o pêndulo para. Dificilmente $\theta = 0$.

ChatGPT ~

O que é um neuronio em uma RNA. Resposta sucinta.

Um **neurônio em uma Rede Neural Artificial (RNA)** é uma unidade de processamento que recebe entradas numéricas, aplica um peso e um viés a elas, soma os resultados e passa por uma **função de ativação**, gerando uma saída que pode servir de entrada para outros neurônios.

Fórmulas úteis -----

$$Engrenagem \\ r_1\theta_1 = r_2\theta_2T_1\theta_1 = T_2\theta_2$$

$$\theta_2 = \frac{N_1}{N_2} \theta_1; T_2 = \frac{N_2}{N_1} T_1; J_e = J_L \left(\frac{N_1}{N_2}\right)^2$$

Regra de Mason:
$$\frac{\sum P_{k} \Delta_{k}}{\Delta}$$

$$\Delta = 1 - \sum_{i} L_{i} + \sum_{j} L_{i} L_{j} - \sum_{i} L_{i} L_{j} L_{k} \dots$$

$$P_{k} - caminho direto k ligado entra e saída$$

 Δ_k – Δ tirando – se todos os laços que tocam o caminho direto k L_iL_i – laços disjuntos 2 a 2

$$Motor CC \\ R_aI_a(s) + V_b(s) = E_a(s) \\ T_m(s) = K_tI_a(s) \\ T_m(s) = \left(J_m s^2 + D_m s\right)\theta_m(s)$$

Curva Torque $x \omega_m$ cte:

$$\frac{R_a}{K_t}T_m + K_b\omega_m = e_a$$

Resposta de sistema de 2^a ordem sem zeros $t \Leftrightarrow s$

$$\frac{Y(s)}{R(s)} = \frac{K\omega_n^2}{s^2 + 2\zeta\omega_n s + \omega_n^2}$$

$$R(s) = \frac{1}{s} \to \frac{y(t)}{K} = 1 - \frac{e^{-\sigma t}}{\sqrt{1 - \zeta^2}} \cos(\omega_d t - \phi)$$

$$\omega_d = \omega_n \sqrt{(1 - \zeta^2)}$$

$$e^{-4.6} = 0,01 \to t_{s,1\%} = \frac{4.6}{\sigma} t_{r(10\% - 90\%)} \approx \frac{1.8}{\omega_n} t_p = \frac{\pi}{\omega_d}$$

$$M_p = 100 \frac{e^{-\pi \zeta}}{\sqrt{1 - \zeta^2}}$$

